

Development of Machinable Si_3N_4 -BN Composite Ceramics



磯村 敬一郎
Keiichiro Isomura
ハイテク研究所 新素材研究センターセラミックグループ 主任研究員(掛長)

船橋 敏彦
Toshihiko Funahashi
ハイテク研究所 新素材研究センターセラミックグループ 主任研究員(課長)

内村 良治
Ryoji Uchimura
技術研究本部 研究企画部企画開発室 主査(部長補)

要旨

超微粉原料粉末の均一混合技術を利用したスリップキャスティング成形法と N_2 ガス圧焼結法により、新規な Si_3N_4 -BN 系複合焼結体 (SNB) を開発した。SNB の重要な特徴は、原料粉末スラリー中の BN/ Si_3N_4 の比率を任意に変えることにより、焼結体の特性を広い範囲で変えることができる。SNB は良好な耐熱衝撃性、溶融金属に対する高耐食性、さらに、易加工性でありながら比較的高強度であるという特長を有している。BN を 20 wt.% 配合した SNB の場合、曲げ強度は 20 kg/mm² 以上であり、反応焼結法で製造される Si_3N_4 -BN 系複合焼結体と比べてはるかに高強度である。同じく、耐熱衝撃温度も Si_3N_4 単味焼結体と比べて 250~300°C 改善される。以上の特徴は、SNB が種々の溶融金属鋳造部材、熱処理用治具として向いていることを示している。

Synopsis:

Advanced composite ceramics of the Si_3N_4 -BN system have been developed. The Si_3N_4 -BN composite ceramics (SNB) have been produced using slipcasting technique, which utilizes homogeneous mixing of ultra-fine constituent ceramic powders, and N_2 gas pressure sintering. An essential feature of SNB is that it is possible to change widely their various properties by controlling the proportion of BN to Si_3N_4 . The advantageous features of SNB are high thermal shock resistance, high corrosion resistance to molten metal, and excellent machinability while retaining relatively high strength, i.e., the bending strength of SNB with 20 wt.% BN is 200 MPa or over. The thermal shock resistance temperature is improved by 250 to 300°C compared with Si_3N_4 monolithic ceramics by incorporating 20 wt.% BN. These features indicate that SNB are well suited to machine parts for various molten metal casting facilities and jigs for heat treatment.

1 緒 言

構造セラミックスとして ZrO_2 , Si_3N_4 , SiC といった各種ファイバーセラミックスが知られ、その優れた耐熱性、耐圧強度、耐摩耗性等の特長を生かして、次世代材料として実用化に向けて研究開発が活発に行われている。近年、自動車用エンジン部品や機械部品、あるいは溶融金属部品等への適用が試みられ、一部実用化されている¹⁾。

構造用セラミックスは、鉄鋼製造プロセスにおいても種々用いられており、特に鋳用ブレーキリングのような連続鋳造用部材、金属溶解用のつぼ、アトマイズ用ノズルといった溶融金属用セラミックスに対するニーズが多い。しかし、これらはいずれも使用条件が厳しく、優れた耐熱衝撃性、耐摩耗性および溶融金属に対する耐食性が要求される。さらに、実際の装置への組み込み等を考慮すると機械加工性に優れることが望ましい。これらの要求に対して、従来から用いられている耐火物では応じることができず、また、前述の ZrO_2 , Si_3N_4 , SiC といった単味の構造用セラミックスでは耐熱衝撃性、機械加工性等の特性が不十分で、使用に耐えない。

このような背景を踏まえて、著者らはまず、当社のような鉄鋼製造業においてニーズの多い溶融金属用セラミックスの開発を複合化により試みた。その結果、 Si_3N_4 と BN を複合化することにより、 Si_3N_4 の優れた機械的特性と BN の優れた耐熱衝撃性、機械加工性などを兼ね備えた Si_3N_4 -BN 系複合焼結体を新規に開発した。従来、 Si_3N_4 -BN 系の複合焼結体として Si 粉末と BN 粉末との成形物を N_2 中で焼成する反応焼結法によって製造されるものが知られているが、Si が残留しやすく不均質で、機械加工性も劣っている。本法の Si_3N_4 -BN 系複合焼結体は、near net shape 成形により、単純形状から複雑形状まで対応できるように、形状自由度、簡便な設備等を考慮してスリップキャスティング成形法と N_2 ガス圧焼結法を

採用した。

複合系セラミックス材料としては、高靱性化を目的とした SiC ウィスカーや繊維強化セラミックス、最近のセラミックスナノ複合材料等が知られている。しかし、今回開発した複合セラミックスは、セラミックスの超微粉原料の均一分散技術を利用したミクロンサイズの複合セラミックスである。このような、いくつかのセラミックス成分のミクロンサイズの均質な複合化による新しい機能の創出は、今後のファインセラミックスの開発の方向を示すものと考えられる。

本稿では、以上の Si_3N_4 -BN 系複合セラミックス（以下、SNB と略す）に関して曲げ強度、耐熱衝撃性、機械加工性を評価し、これらの評価結果について焼結体の微構造組織との関連で検討を加えた結果を報告する。

* 平成元年 8月23日原稿受付

2 実験方法

2.1 原 料

SNB の開発に用いた Si₃N₄, BN の原料粉末特性を Table 1 に示す。Si₃N₄ 粉末は、高純度かつ超微粉である Si₃N₄(A) 粉末とそれよりも低純度で粗粒の標準グレードの Si₃N₄(B) 粉末の 2 種類である。これは原料粉末の違いによる Si₃N₄ の焼結性が SNB の特性に与える影響を調べるためにある。また BN 粉末は、高純度かつ超微粉を準備した。

Table 1 Properties of Si₃N₄ and BN powder

	Si ₃ N ₄ (A)	Si ₃ N ₄ (B)	BN
$\alpha/(\alpha+\beta) \times 100 (\%)$	>97	93	
Impurities	Fe (ppm)	<50	1 800
	Al (ppm)	<10	1 500
	Ca (ppm)	<10	1 800
	Mg (ppm)	<10	<100
Specific surface area (m ² /g)	10~11	7	50~60
Particle size D ₅₀ (μm)	0.7	1.2	0.1

2.2 製造工程

Fig. 1 に SNB の製造フローを示す。Si₃N₄ 粉末, BN 粉末, そして Si₃N₄ の焼結助剤として Al₂O₃ 粉末, Y₂O₃ 粉末を均一混合し, 水とともにボールミル中で均一混合した後, スラリー調整を行い, スリップキャスティング成形用スラリーとした。このスラリーを石膏型に流しこみ, 0~40 wt.% で 10 wt.% 間隔の BN 含有率の組成を有する 50 mm × 50 mm × 10 mm の成形体を得た。成形体を乾燥, 脱脂した後, 9 × 10⁵ Pa の N₂ ガス中, 1 800°C という条件で焼成して焼結体を得た。この焼結体から 4 mm × 3 mm × 40 mm の試験片を切り出して表面加工し, 微構造組織観察用および特性評価用試料とした。

2.3 特性評価

微構造組織の解析は, SNB 破面の走査電子顕微鏡 (SEM) によ

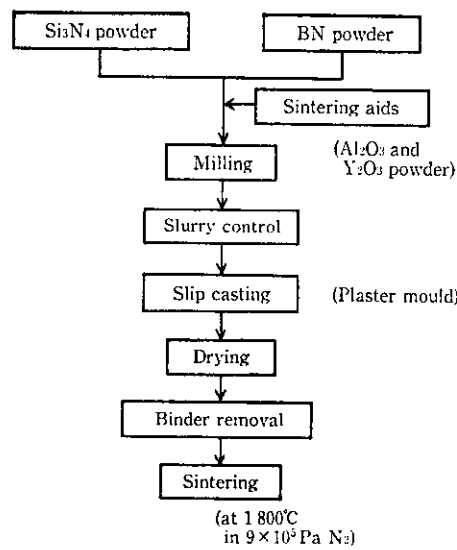


Fig. 1 Manufacturing process

る組織観察と気孔率および気孔径分布を調べた。気孔率は, 実測した見掛けかさ密度と組成から計算で求めた理論密度との差から求めた。また, 気孔径分布は, 水銀圧入法によるポロシメータにて測定した。

種々の機械的特性に関しては, 曲げ強度, 耐熱衝撃温度, 機械加工性について評価した。強度は, JIS 法に基づく 3 点曲げ強度を測定した ($n=20$ の平均値)。耐熱衝撃温度は, 試料を大気中にてそれぞれの温度で 1 時間保持後, 0°C の水中への急冷による熱衝撃を与えた後, JIS 法に基づく 3 点曲げ強度を測定し, 強度低下が生じない温度差の上限値を耐熱衝撃温度 (AT) とした ($n=10$ の平均値)。3 点曲げ強度はスパン 30 mm, クロスヘッドスピード 0.5 mm/min という条件で測定した。機械加工性については, WC 超硬工具を用いた施盤加工により加工性を評価した。

3 実験結果

3.1 微構造組織の解析

Photo 1 に Si₃N₄(A) 粉末を用いた SNB(A) 焼結体の破面の

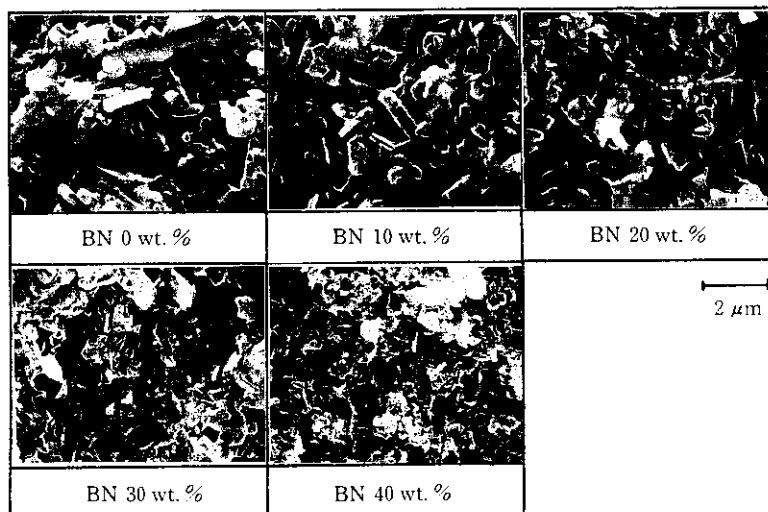


Photo 1 SEM photographs of SNB (A) ceramics

SEM像を示す。BN含有量が0, 10, 20, 30および40wt.%での微構造組織を示す。Si₃N₄単体では β -Si₃N₄が多く発達しているが、BN含有量がふえると、柱状晶の発達が低下し、BN30wt.%ではまったく認められなくなり、粒状晶組織となる。また、BN含有量が増加すると、Si₃N₄単体では存在しないりん片状の粒子の集合体が増加する。このりん片状粒子の集合体はBNと推測され、Si₃N₄マトリックスの粒界中に均一に混在している。一方、Si₃N₄(B)粉末を用いたSNB(B)焼結体の微構造組織については、BN含有量による組織の変化はSNB(A)とほぼ同じ傾向であったが、柱状晶の β -Si₃N₄はBN20wt.%以上でまったく認められなくなり、SNB(A)よりも柱状晶の発達するBN含有量の領域が狭い。

3.2 気孔率および気孔径分布

Fig. 2にSNB(A), SNB(B)のBN含有量と気孔率、平均気孔径との関係を示す。いずれの場合もBN含有量が増加すると気孔率は増加するが、平均気孔径はほぼ一定であり、0.1~0.2μmの極めて微細な気孔となっている。また、SNB(A)はSNB(B)に比べてBN含有量とともに気孔率の増加が少なく平均気孔径も小さい。

Fig. 3にSNB(B)のBN含有量が10および30wt.%における気孔径分布を示す。BN含有量に関係なく非常にシャープな気孔径分布を示し、均一な超微細多孔質体であることがわかる。また、SNB(A)についても同様な結果が得られた。

3.3 曲げ強度

Fig. 4にSNB(A), SNB(B)のBN含有量と3点曲げ強度との関係を示す。BN含有量が増加するといずれも強度は低下するが、同じBN含有量では、SNB(A)のほうがSNB(B)よりも高い強度

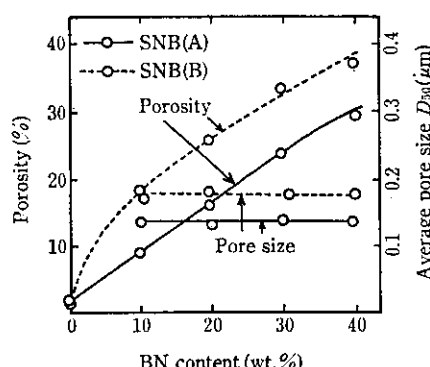


Fig. 2 Porosity and average pore size of SNB ceramics

を示す。SNB(A)の場合、BN20wt.%以下で、30kgf/mm²以上の高い曲げ強度が得られるが、SNB(B)においては、20kgf/mm²以上になるとどまる。しかし、これらの強度は、現在、反応焼結法で製造されるSi₃N₄-BN系の複合焼結体と比べてFig. 4に示すように2~4倍高い^{2,3)}。

3.4 耐熱衝撃温度

Fig. 5にSNB(A), SNB(B)のBN含有量と耐熱衝撃温度(ΔT)との関係を示す。いずれもBN含有量が増加すると ΔT が向上する。また、SNB(A)の方がSNB(B)よりも若干高い値を示す。従来、Si₃N₄焼結体の耐熱衝撃性は比較的良いと考えられてきた。こ

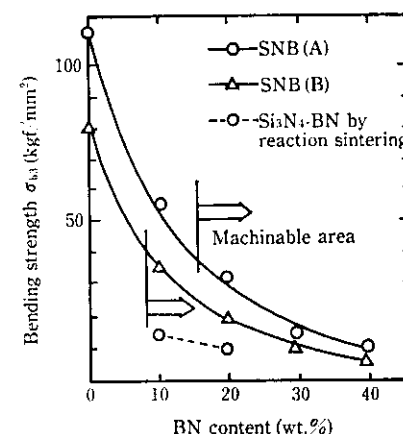


Fig. 4 Bending strength and machinability of SNB ceramics

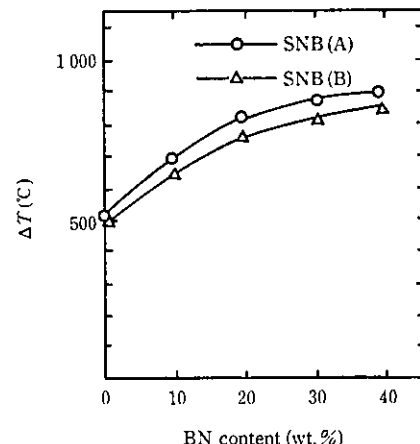


Fig. 5 Thermal shock resistance of SNB ceramics

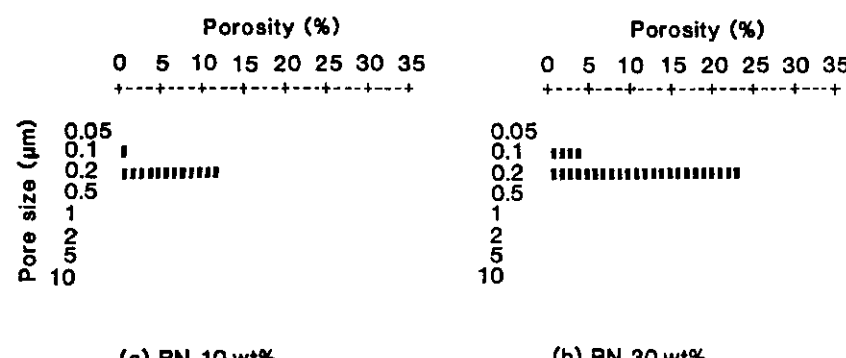


Fig. 3 Pore size distribution of SNB (B) ceramics

れに対してSNBでは、 $4T$ の比較で、BN10 wt.%のSNB(A)で Si_3N_4 焼結体の1.4倍、BN30 wt.%のSNB(A)で1.7倍となり、非常に優れた耐熱衝撃抵抗性を有していることがわかる。

3.5 機械加工性

Fig. 4にSNB(A), SNB(B)のBN含有量とWCの超硬工具を用いた場合の切削加工が可能(マシナブル)な領域を示す。SNB(A)ではBN15 wt.%以上で、SNB(B)ではBN10 wt.%以上がマシナブルである。また、BN含有量の増加にともない加工性は向上する。

4 考 察

4.1 微構造組織

Si_3N_4 の焼結助剤を用いた液相焼結に関しては多くの報告がなされており^{5,6)}、柱状晶の β - Si_3N_4 の発達が特徴的である。この柱状晶の発達が Si_3N_4 焼結体の高靱性、高強度といった優れた機械的特性の理由である。この柱状晶の β - Si_3N_4 は Si_3N_4 粒子が焼結助剤の液相に溶解析出し、粒成長する段階で発達することが知られている^{7,8)}。

SNBの場合、Photo 1のようにBN含有量が増加すると柱状晶の β - Si_3N_4 の発達が低下することから、 Si_3N_4 粒子が液相に溶解析出するのをBNが阻害すると考えられる。BN自身は本焼成の結果(1800°C , $9 \times 10^6 \text{ Pa N}_2$ 中)では焼結することが期待できないことから、BNの存在状態は、成形時の状態からほとんど変わらず、緻密化収縮しようとする Si_3N_4 の焼結を阻害していると推測される。したがって、BN含有量が増加すると Si_3N_4 の焼結の阻害程度が大きくなり、柱状晶の β - Si_3N_4 の発達が抑制される。また、SNB(A)とSNB(B)とで柱状晶の発達程度に差があるのは、 Si_3N_4 の原料粉末の違いによる Si_3N_4 自体の焼結性の差によるものと推測される。

Fig. 2に示すようにBN成分の増加にともなう気孔率の増加は、 Si_3N_4 の緻密化収縮を阻害するBN成分の体積率の増加によるものである。また、SNB(A)がSNB(B)よりも気孔率の増加が少ないのは、柱状晶の β - Si_3N_4 の発達程度における差と同様に、 Si_3N_4 粉末原料の違いによる焼結性の差が原因と推測される。これらの結果は、 Si_3N_4 の原料粉末特性と焼結性との関係に関して神崎らが報告しているように⁸⁾、純度が高いほど、粒度が小さいほど、さらに α 相含有量が高いほど、焼結性に優れることと対応している。さらに、Fig. 3に示すように、BN含有量にかかわらず、気孔径が極めて微細で、その分布がシャープであることは、超微細のBN粒子が Si_3N_4 マトリックス中に均一分散しているためと考えられている。このことは、Fig. 1で示した本製造法の特徴であるスリップキャスティング成形時に用いるスラリー中で、 Si_3N_4 とBNが均一分散していることが大きく寄与していると判断できる。

4.2 機械的特性

セラミックスの曲げ強度は気孔率により大きく支配されることは古くから報告されている^{9,10)}。すなわち、材料の荷重を支える加重方向に垂直な断面の有効面積に比例するので、気孔率が多いほど強度は低下する。

SNBの場合、Fig. 4に示すようにBN含有量の増加にともない3点曲げ強度が低下するのは、気孔率の増加が大きな要因である。しかしながら、 Si_3N_4 とBNの複合効果の曲げ強度への影響は明確にできない。SNB(A)がSNB(B)より強度が高いのは、原料粉末の焼結性の差によってSNB(A)の方が気孔率が小さいことが主要因である。

4.3 耐熱衝撃特性

セラミックスの耐熱衝撃性については、熱衝撃による熱応力と材料特性から導かれる熱衝撃抵抗係数がよく知られ、熱衝撃条件や亀裂の進展条件により種々の式が示されている¹¹⁾。本報で用いた熱衝撃試験では、水中急冷法による亀裂の発生が問題になると考えられるので、(1)式に示す熱衝撃破壊抵抗係数 R で解析してみた。

$$R = \frac{S(1-\nu)}{E\alpha} \quad (1)$$

S: 破壊強度

ν : ポアソン比

E: ヤング率

α : 熱膨張係数

BN含有量が10, 20, 30および40 wt.%のSNB(B)を用い、ヤング率、ポアソン比、熱膨張係数を測定した結果をTable 2に示す。ヤング率、ポアソン比は超音波パルス法により測定した。BN含有量の増加にともない、ヤング率、ポアソン比、熱膨張係数は低下し、特にヤング率の低下が著しく、BN40 wt.%はBNに比較すると約1けたヤング率が小さくなっている。BN含有量增加にともなうヤング率の低下は、主として気孔率の増加によるものと考えられる。

Fig. 6にSNB(B)のBN含有量と(1)式から計算によって求めた R および実測した熱衝撃温度($4T$)との関係を示す。破壊強度 S については、Fig. 4に示した3点曲げ強度を用いた。前述のように、 $4T$ で表される耐熱衝撃性は、 Si_3N_4 単味焼結体と比べてBN含有量の増加とともに顕著に向かっており、 R 値とも対応した傾向を示す。耐熱衝撃性の向上は、(1)式から考えるとヤング率の顕著な低下による熱応力の減少に主として起因すると考えられる。

4.4 機械加工性

SNBの機械加工性のメカニズムに関しては、榎本らが、SNB(B)を用いて報告している¹²⁾。

Table 2 Various physical properties of SNB(B) ceramics

BN content (wt.%)	Young's modulus (N/m ²)	Poisson's ratio	Thermal expansion coefficient (RT~1000°C) (1/°C)	Thermal shock resistance parameter R (°C)
10	1.50×10^{11}	0.21	3.4×10^{-6}	550
20	5.89×10^{10}	0.18	3.2×10^{-6}	850
30	3.41×10^{10}	0.13	3.1×10^{-6}	1120
40	1.71×10^{10}	0.13	2.7×10^{-6}	1280

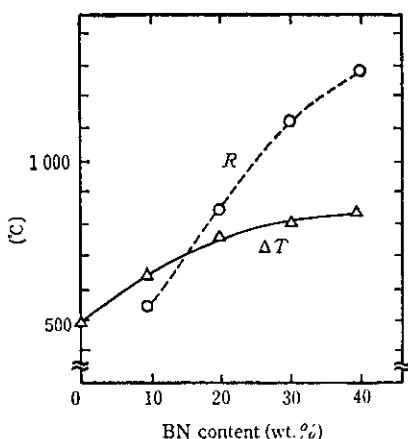


Fig. 6 Thermal shock resistance ΔT and its parameter R of SNB (B) ceramics

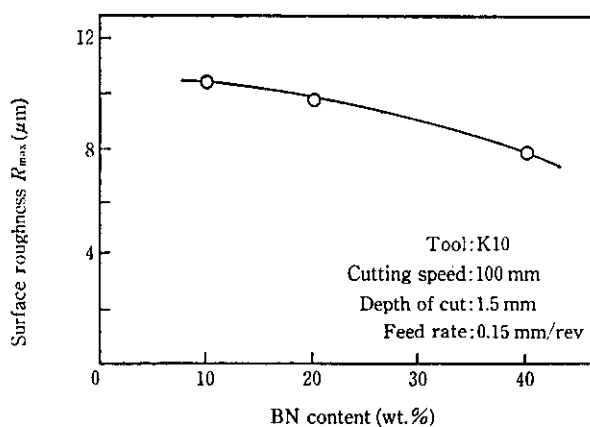


Fig. 8 Relation between BN content and surface roughness of SNB (B) ceramics

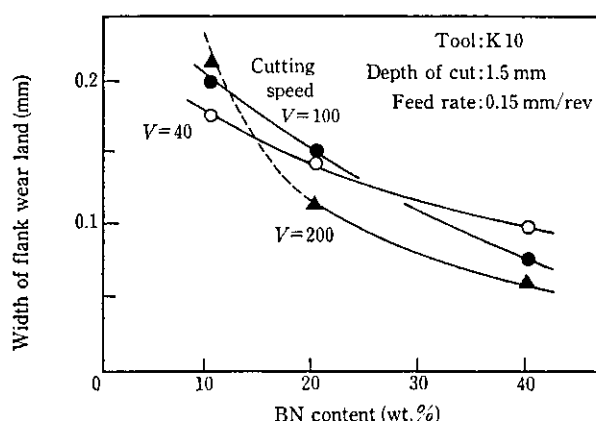


Fig. 7 Relation between BN content and width of flank wear land of SNB (B) ceramics

それによれば、BN含有量の増加にともない、工具逃げ面摩耗幅は減少し(Fig. 7)、仕上げ面粗さも小さくなる(Fig. 8)傾向がみられ、機械加工性が改善されていることがわかる。

切削時に発生するクラックは、Si₃N₄マトリックス中ではほぼ直進するが、クラックがBN粒子に到達した場合、BN粒子とSi₃N₄

マトリックスの粒界を伝播したり、BNのへき開効果により多方向に伝播する。すなわち、BN粒子はクラックの伝播方向を変えたり、伝播を促進し、連続的に切屑を形成しやすくして、良好な機械加工性を与えていると考えられる。以上述べた傾向は、BN含有量があふると顕著となり、BNの分散状態とへき開性、均一微細な気孔の存在などが、SNBの機械加工性を決定しているといえる。

5 溶融金属部品への適用

今回、新規開発したSi₃N₄-BN系複合焼結体を用いて、当社の各種の新規プロセスにおける溶融金属用部材、例えば、薄スラブキャスター用部品、水平連鉄用ブレークリング、アモルファスマタル用ノズル等に適用した。この結果、これらの焼結体は、装置等への組み込みの際に有利な特性として優れた加工性を持ちながら、耐圧強度、耐熱衝撃性、溶融金属に対する耐食性、耐磨耗性に優れ、従来材料よりも良好な耐用性を示すことが確認された。

これらの実績に基づき、鉄以外の各種溶融金属用部材のニーズに対しても適用拡大を図っている。Table 3に各種溶融金属用部材に対する適用例をまとめて示す。上述の用途以外では、とくに、高耐熱衝撃性、易加工性機能を生かした焼成用棚板、マッフル等の各種熱処理治具、ガラス成形用部品等への用途拡大が進んでいる。

Table 3 Application of SNB (B) ceramics to the parts for molten casting

Customer	A	B	C	D	E	F	G	H
Metal	Al	Al	Cu-Zn	Cu-Zr	Cu-Su-Pb	Ni-Cr	Fe-Ni-Cr	Co-Cr
Temp. (°C)	700	700	1 200	1 200	1 600	1 600	1 600	1 600
Application	Protector tube for magnetic pump	Tube for diecasting	Break-ring for semi-continuous casting	Mould for up-casting	Nozzle for atomizing		Break-ring for horizontal continuous casting	
Feature	<ul style="list-style-type: none"> Heat shock resistance Erosion resistance 	<ul style="list-style-type: none"> Erosion resistance Possibility of moulding 	<ul style="list-style-type: none"> Heat shock resistance Erosion resistance Insulation 		<ul style="list-style-type: none"> Heat shock resistance Erosion resistance 		<ul style="list-style-type: none"> Heat shock resistance Insulation Erosion resistance 	
Conventional materials	RB-Si ₃ N ₄ Si ₃ N ₄ Sialon	Pig iron Steel	Carbon	Carbon HP-BN	ZrO ₂ NS-BN	ZrO ₂ Al ₂ O ₃ HP-BN	RB-Sialon-BN HP-BN HP-ZrO ₂ -BN	

HP: Hot pressing NS: Normal sintering RB: Reaction bonding

6 結論

スリップキャスティング成形法およびN₂ガス圧焼結法を用いてSi₃N₄-BN系の新規複合焼結体(SNB)を開発した。この焼結体の微構造組織観察、各種機械的特性の評価を行い、機械的特性と微構造との関連について検討を加え、以下の結果を得た。

- (1) SNBの微構造は、微細Si₃N₄粉末を用いたSNB(A)焼結体、それよりも粗粒のSi₃N₄粉末を用いたSNB(B)焼結体とともに、Si₃N₄マトリックス中にBNが均一に存在する複合組織である。BN含有量が少ない場合は柱状晶のβ-Si₃N₄が発達した組織となっており、一方、BN含有量が多い場合には、Si₃N₄粒子とBNが混在する粒状組織となっている。
- (2) 気孔率は、BN含有量の増加とともに増加し、BN30wt.%以上の組成の焼結体では25%以上の気孔率を有する多孔質焼結体となっている。平均気孔径は非常に微細で、全気孔量の80%は0.1~0.2μmの範囲内にあり、本焼結体は超微細均質多孔質体となっている。
- (3) 3点曲げ強度はBN含有量の増加とともに減少するが、これ

は主として気孔率の増大によるものである。SNB(A)の場合、BNが10, 20wt.%配合で、それぞれ、50, 30kgf/mm²以上、SNB(B)の場合、同様に、それぞれ30, 20kgf/mm²以上の高い曲げ強度値が得られた。

- (4) 水中急冷法による耐熱衝撃抵抗性は、BN含有量の増加とともに向上して、Si₃N₄の単味焼結体と比べてBN10wt.%配合で150~200°C、30wt.%の配合で300~350°Cの耐熱衝撃温度(4T)の改善が認められた。BN含有量の増加とともに耐熱衝撃抵抗性の向上は、主として気孔率の増大とともにうやうやしく減少による熱応力の減少に起因すると考えられる。
- (5) 機械加工性については、SNB(A)ではBN含有量15wt.%以上、SNB(B)では同じく10wt.%以上の焼結体が、WC超硬工具による切削加工が可能である。本焼結体の場合、易加工性であるが、30kgf/mm²以上の高い曲げ強度を有している。
- (6) 今回開発したSNBを、当社の各種新規プロセスにおける溶融金属用部材に適用したところ、良好な結果が得られた。さらに、SNBは、鉄以外の各種溶融金属用部材、熱処理用治具等に適用用途範囲を拡大しつつある。

参考文献

- 1) 宮重行:「窒化珪素セラミックス」(1987), まえがき
- 2) 日本钢管(株)および品川白煉瓦(株):特公昭60-22676
- 3) 昭和電工(株):特開昭63-407715
- 4) 三友謙:「窒化珪素セラミックス」,(1987), 5, 5, [内山老舗出版社]
- 5) 鈴木弘茂:「高温セラミックス材料」,(1985), 47-51, [日刊工業新聞社]
- 6) 田端英世, 神崎修三, 阿部修実, 大橋優喜:「ファインセラミックス次世代研究の歩み」,(1988), 765, [ファインセラミックス協会]
- 7) 三友謙:「窒化珪素セラミックス」,先端材料科学・技術研究会講演会 ABSTRACT, 新素材研究委員会,(1988)
- 8) 神崎修三, 長岡孝明, 大橋優喜, 阿部修実, 吉川昭夫, 中村美幸, 佐津留秀樹, 中島征彦:「ファインセラミックス 次世代研究の歩み」,(1988), 397, [ファインセラミックス協会]
- 9) W. Duckworth: *J. Am. Ceram. Soc.*, No. 36 (1953), 68
- 10) 窯業協会編集:「セラミック化学」,(1974), 114-116, [窯業協会]
- 11) 中山淳:「セラミックスの機械的性質」,(1979), 69-71, [窯業協会]
- 12) 梶本真二, 加藤正倫, 福山利明, 内村良治:「昭和63年度精密工業学会秋季講演大会」,CD9, (1988), 63, 64